

Maximum Weight Clique: Análise Formal e Experimental

André Ribeiro 

Algoritmos Avançados

DETI, Universidade de Aveiro

Aveiro, Portugal

andrepedroribeiro@ua.pt

Resumo—Este trabalho apresenta uma análise formal e experimental completa de algoritmos para resolver o problema Maximum Weight Clique em grafos não direcionados. Comparamos uma abordagem exaustiva que garante otimalidade, mas possui complexidade exponencial $O(2^n \times n^2)$ com uma heurística gulosa multi-início com complexidade polinomial $O(n^3)$ que produz soluções de alta qualidade. Os resultados experimentais validam completamente as análises teóricas de complexidade e demonstram que a heurística mantém precisão superior a 94% em relação à solução ótima, com factores de aceleração superiores a 2,000x para grafos de 20 vértices.

Index Terms—maximum weight clique, algoritmos combinatórios, análise de complexidade, heurísticas gulosas, otimização NP-difícil

I. INTRODUÇÃO

Este relatório apresenta uma análise formal e experimental completa dos algoritmos implementados para resolver o **Problema 12: Maximum Weight Clique**. O problema consiste em encontrar uma clique (subgrafo completo) de peso máximo num grafo não orientado $G(V, E)$, onde cada vértice possui um peso positivo. O problema Maximum Weight Clique é um problema de otimização combinatória NP-difícil com aplicações práticas em diversas áreas. Estas incluem a computação social (identificação de comunidades influentes em big data) e a bioinformática, especificamente na análise de locais de ligação de proteínas [1] e na predição de complexos de RNA [2]. A versão *weighted* do problema clássico da clique máxima adiciona uma dimensão adicional de complexidade, tornando-o particularmente relevante para cenários onde os vértices possuem valores ou importâncias distintas. Neste trabalho, foram comparadas duas abordagens fundamentais para resolver este problema:

- **Pesquisa exaustiva** (solução ótima baseline): enumera sistematicamente todos os possíveis subconjuntos de vértices e identifica o clique de maior peso; garante otimalidade, mas possui complexidade exponencial $O(2^n \times n^2)$. Esta abordagem serve como um baseline fundamental, mas é superada em ordens de magnitude por algoritmos exatos estado-da-arte (SOTA) que utilizam técnicas de branch-and-bound e redução de dados [1], [3].
- **Heurística gulosa multi-início** (solução aproximada baseline): constrói cliques incrementalmente, começando a partir de cada vértice e selecionando iterativamente o vértice compatível de maior peso; oferece complexidade

polinomial (pior caso $O(n^4)$, caso médio $O(n^3)$) e produz soluções de alta qualidade. Esta é uma heurística de construção robusta, mas a investigação recente foca-se em meta-heurísticas (como Iterated Local Search ou Simulated Annealing) e abordagens híbridas para explorar o espaço de soluções de forma mais eficaz [4], [5].

Os objetivos específicos deste trabalho incluem: (i) definir formalmente o problema Maximum Weight Clique; (ii) descrever detalhadamente ambas as abordagens baseline com análise rigorosa da sua complexidade computacional; (iii) realizar uma avaliação experimental abrangente comparando tempo de execução, número de operações básicas e qualidade das soluções; (iv) verificar empiricamente as análises teóricas de complexidade; (v) contextualizar estes algoritmos baseline com o estado-da-arte (SOTA) da investigação recente; e (vi) discutir os compromissos entre qualidade e desempenho, sobre quando utilizar cada método. Este relatório está estruturado da seguinte forma: a Secção II apresenta a definição formal do problema; a Secção III descreve os algoritmos implementados com análise formal de complexidade; a Secção IV apresenta a metodologia experimental e os resultados obtidos, incluindo a comparação entre análise teórica e experimental; finalmente, a Secção V sintetiza as conclusões e recomendações, seguida da bibliografia revista.

II. O PROBLEMA

Seja $G = (V, E)$ um grafo não direcionado com $n = |V|$ vértices e $m = |E|$ arestas. Cada vértice $v \in V$ possui um peso positivo $w(v) > 0$ atribuído através de uma função $w : V \rightarrow \mathbb{R}^+$.

Definição II.1 (Clique). Uma **clique** é um subconjunto de vértices $C \subseteq V$ tal que todos os vértices em C são adjacentes entre si, ou seja, o subgrafo induzido por C é completo. Formalmente, C é uma clique se e somente se:

$$\forall u, v \in C, u \neq v : \{u, v\} \in E$$

Definição II.2 (Peso de uma Clique). O **peso de uma clique** C é definido como a soma dos pesos dos seus vértices:

$$w(C) = \sum_{v \in C} w(v)$$

Definição II.3. Dado um grafo não direcionado $G(V, E)$ com pesos positivos nos vértices, o problema **Maximum Weight**

Clique consiste em encontrar um clique C^* que maximize o peso total:

$$C^* = \arg \max_{\substack{C \subseteq V \\ C \text{ é clique}}} w(C)$$

A. Propriedades do Problema

O problema Maximum Weight Clique é um problema de otimização combinatória que apresenta as seguintes características:

- **NP-dificuldade:** O problema é NP-difícil [6], pois a versão de decisão (dado um grafo e um valor k , existe uma clique com peso pelo menos k ?) é NP-completa. Isto implica que não se conhece um algoritmo polinomial que resolva o problema de forma ótima para instâncias arbitrárias.
- **Complexidade do espaço de procura:** Para um grafo com n vértices, existem 2^n possíveis subconjuntos de vértices a considerar, tornando a procura exaustiva impraticável para valores grandes de n .
- **Pesos positivos:** Neste trabalho, consideramos apenas pesos positivos nos vértices. A extensão para pesos negativos ou nulos introduz complexidades adicionais.
- **Relacionamento com problemas clássicos:** O problema Maximum Weight Clique generaliza o problema clássico de clique máxima (onde todos os pesos são unitários), sendo mais complexo e com aplicações mais amplas.

O problema encontra aplicações práticas em diversas áreas. Na computação social, é usado para a identificação de comunidades coesas e influentes em *big data*. Na bioinformática, é fundamental para a análise de redes de interação proteica, descoberta de módulos funcionais e, especificamente, na análise de locais de ligação de proteínas [1] e na predição de complexos de RNA [2].

III. ALGORITMOS IMPLEMENTADOS

Esta secção apresenta os dois algoritmos implementados para resolver o problema Maximum Weight Clique, incluindo a sua descrição formal através de pseudocódigo e a análise rigorosa da sua complexidade computacional.

A. Algoritmo Exaustivo (Baseline Ótimo)

O algoritmo exaustivo encontra a solução ótima testando sistematicamente todos os possíveis subconjuntos de vértices. Esta abordagem garante optimalidade, mas possui complexidade exponencial, sendo um baseline fundamental adequado apenas para instâncias pequenas.

Algorithm 1 Algoritmo Exaustivo para Maximum Weight Clique

Require: Grafo $G(V, E)$ com pesos positivos nos vértices $w : V \rightarrow \mathbb{R}^+$

Ensure: Clique de peso máximo ($best_clique, best_weight$)

Ensure: Métricas de execução ($operations, configurations$)

```

1:  $best\_clique \leftarrow \emptyset$ 
2:  $best\_weight \leftarrow 0$ 
3:  $operations \leftarrow 0$ 
4:  $configurations \leftarrow 0$ 
5: for cada subconjunto  $S \subseteq V$  do
6:    $configurations \leftarrow configurations + 1$ 
7:    $is\_clique, checks \leftarrow$  verificar se  $S$  é clique
8:    $operations \leftarrow operations + checks$ 
9:   if  $is\_clique$  then
10:     $weight \leftarrow \sum_{v \in S} w(v)$ 
11:    if  $weight > best\_weight$  then
12:       $best\_clique \leftarrow S$ 
13:       $best\_weight \leftarrow weight$ 
14:    end if
15:   end if
16: end for
17: return (
         $best\_clique,$ 
         $best\_weight,$ 
         $operations,$ 
         $configurations$ 
      )

```

O algoritmo percorre todos os 2^n subconjuntos possíveis de vértices. Para cada subconjunto S , verifica se forma um clique testando todas as arestas entre pares de vértices em S . Se S for um clique válido, calcula o seu peso total e actualiza a melhor solução encontrada caso o peso seja superior.

1) *Análise de Complexidade:* **Complexidade Temporal:** $O(2^n \times n^2)$

- Existem 2^n subconjuntos possíveis de vértices a testar.
- Para cada subconjunto S com $|S| = k$, a verificação de clique requer $\binom{k}{2} = \frac{k(k-1)}{2}$ verificações de adjacência.
- No pior caso, quando $k = n$, temos $\binom{n}{2} = O(n^2)$ verificações por subconjunto.
- Portanto, o tempo total é $O(2^n \times n^2)$.

Complexidade Espacial: $O(n)$

O espaço necessário é apenas para armazenar o melhor clique encontrado, que contém no máximo n vértices. A geração de subconjuntos pode ser feita iterativamente sem necessidade de armazenar todos simultaneamente.

Correção: O algoritmo é correto pois testa todos os possíveis cliques e mantém o de maior peso. Como explora todo o espaço de soluções, garante encontrar a solução ótima.

Limitações Práticas: Devido ao crescimento exponencial, este algoritmo torna-se impraticável para grafos com mais de aproximadamente 20 vértices. É crucial notar que esta barreira

de $n \approx 20$ é uma limitação da força bruta, não da resolução exata moderna.

2) *Abordagens Exatas Estado-da-Arte (SOTA)*: A investigação SOTA não utiliza a enumeração $O(2^n \times n^2)$. Em vez disso, emprega duas estratégias principais que são ordens de magnitude mais rápidas:

- **Branch-and-Bound (B&B)**: Algoritmos como o MaxCliqueWeight [1] exploram a árvore de busca 2^n de forma inteligente. Utilizam métodos de coloração de grafos ponderados para calcular um upper bound (limite superior) para o peso da clique num ramo. Se este upper bound for inferior à melhor clique já encontrada (lower bound), o ramo inteiro é "podado"(pruned).
- **Redução de Dados (Data Reduction)**: Algoritmos como o MWCReduc [3] aplicam um pré-processamento agressivo em tempo polinomial. Utilizam regras baseadas na estrutura local (e.g., remoção de vértices dominados) para reduzir o tamanho do grafo de n para $n' \ll n$, preservando a solução ótima. O solver B&B é então executado neste grafo muito mais pequeno.

Estas técnicas SOTA são capazes de resolver exatamente instâncias consideravelmente maiores do que o limite de $n \approx 20$ da força bruta.

B. Heurística Gulosa Multi-início (Baseline Aproximado)

A heurística gulosa utiliza uma estratégia de construção incremental com múltiplos pontos de partida para evitar ótimos locais. Para cada vértice do grafo, constrói um clique começando por esse vértice e adicionando iterativamente o vértice compatível de maior peso.

Algorithm 2 Heurística Gulosa Multi-início para Maximum Weight Clique

Require: Grafo $G(V, E)$ com pesos positivos nos vértices $w : V \rightarrow \mathbb{R}^+$

Ensure: Clique de peso máximo aproximado $(best_clique, best_weight)$ e métricas $(total_operations, total_configurations)$

```

1: best_clique  $\leftarrow \emptyset$    best_weight  $\leftarrow 0$ 
2: total_operations  $\leftarrow 0$    total_configurations  $\leftarrow 0$ 
3: for cada vértice  $v \in V$  do
4:   clique  $\leftarrow \{v\}$ 
5:   operations  $\leftarrow 0$ 
6:   configurations  $\leftarrow 1$ 
7:   while existe vértice compatível do
8:     compatible  $\leftarrow \emptyset$ 
9:     for cada vértice  $u \in V \setminus clique$  do
10:      is_adjacent_to_all  $\leftarrow$  verdadeiro
11:      for cada vértice  $c \in clique$  do
12:        operations  $\leftarrow operations + 1$ 
13:        if  $\{u, c\} \notin E$  then
14:          is_adjacent_to_all  $\leftarrow$  falso
15:          break
16:        end if
17:      end for
18:      if  $is\_adjacent\_to\_all$  then
19:        compatible  $\leftarrow compatible \cup \{u\}$ 
20:      end if
21:    end for
22:    if  $compatible \neq \emptyset$  then
23:       $u \leftarrow \arg \max_{u \in compatible} w(u)$ 
24:      clique  $\leftarrow clique \cup \{u\}$ 
25:      configurations  $\leftarrow configurations + 1$ 
26:    else
27:      break
28:    end if
29:  end while
30:   $weight \leftarrow \sum_{v \in clique} w(v)$ 
31:  if  $weight > best\_weight$  then
32:    best_clique  $\leftarrow clique$ 
33:    best_weight  $\leftarrow weight$ 
34:  end if
35:  total_operations  $\leftarrow total\_operations + operations$ 
36:  total_configurations  $\leftarrow total\_configurations + configurations$ 
37: end for
38: return  $(best\_clique, best\_weight,$ 
          $total\_operations, total\_configurations)$ 

```

A estratégia multi-início consiste em iniciar a construção de um clique a partir de cada vértice do grafo. Para cada início, o algoritmo adiciona iterativamente o vértice compatível (adjacente a todos os vértices já na clique) com maior peso. Quando não existem mais vértices compatíveis, o algoritmo passa para o próximo vértice de início. A melhor solução encontrada entre

todos os inícios é retornada.

1) Análise de Complexidade: Complexidade Temporal: $O(n^4)$ (Pior Caso), $O(n^3)$ (Prático)

- O ciclo externo percorre n vértices (um por início).
- Para cada início, o ciclo interno pode executar até n iterações (adicionando um vértice por vez).
- Em cada iteração, verifica-se a compatibilidade de até n vértices candidatos.
- Para cada candidato, verifica-se adjacência com todos os vértices do clique actual (no máximo n verificações, linhas 7-18).
- Portanto, o tempo total é $O(n \times n \times (n \times n)) = O(n^4)$. Esta complexidade de pior caso $O(n^4)$ é atingida em grafos densos. Em grafos esparsos, a complexidade prática aproxima-se de $O(n^3)$.

Complexidade Espacial: $O(n)$

O espaço necessário é para armazenar a clique actual e os candidatos compatíveis, ambos limitados por n vértices.

Justificação da Estratégia Multi-início:

- Uma heurística gulosa com início único pode ficar presa em ótimos locais.
- A abordagem multi-início explora múltiplos caminhos de construção, aumentando a probabilidade de encontrar soluções de alta qualidade.
- Iniciar de diferentes vértices ajuda a descobrir cliques que podem não ser alcançáveis a partir de um único ponto de partida.
- O custo adicional de testar n inícios é compensado pela melhoria na qualidade das soluções, mantendo complexidade polinomial.

2) Abordagens Heurísticas Estado-da-Arte (SOTA): O Algoritmo 2 é uma heurística de construção determinística. A investigação SOTA foca-se em superar os ótimos locais através de estocasticidade e busca local:

- **GRASP (Greedy Randomized Adaptive Search Procedure):** Uma modificação direta do Algoritmo 2. Em vez de escolher deterministicamente o ‘arg max’, o GRASP constrói uma ‘Restricted Candidate List’ (RCL) com os melhores candidatos e escolhe um aleatoriamente da lista. A abordagem multi-início é substituída por múltiplas execuções aleatórias [4].
- **Busca Local e Meta-heurísticas:** Após a construção de uma clique inicial (e.g., pelo Algoritmo 2), algoritmos como Iterated Local Search (ILS) [4] ou Simulated Annealing (SA) [5] aplicam movimentos de “swap”(troca) para escapar de ótimos locais e explorar a vizinhança da solução.
- **Abordagens Híbridas:** O SOTA combina técnicas. O algoritmo MWCPEel [3] intercala a construção gulosa com as mesmas regras de redução de dados do solver exato. Abordagens mais recentes utilizam Machine Learning para prever a probabilidade de um vértice pertencer à MWC, removendo heuristicamente vértices de baixa probabilidade antes de executar o solver [7].

IV. TESTES COMPUTACIONAIS

Esta secção apresenta a metodologia experimental utilizada, os resultados obtidos e a comparação entre a análise formal de complexidade (apresentada na Secção III) e os resultados experimentais observados.

A. Metodologia Experimental

1) Geração de Grafos: Os grafos experimentais foram gerados utilizando um gerador aleatório com as seguintes características:

- **Vértices:** Pontos 2D com coordenadas inteiras uniformemente distribuídas entre 1 e 500
- **Distância mínima:** ≥ 10 unidades entre vértices para evitar sobreposição espacial
- **Pesos:** Valores aleatórios uniformemente distribuídos entre 1.0 e 100.0, garantindo que todos os pesos são positivos
- **Arestas:** Selecionadas aleatoriamente para atingir densidades específicas
- **Densidades testadas:** 12.5%, 25%, 50% e 75% do número máximo possível de arestas ($\binom{n}{2}$)
- **Tamanhos:** De 4 a 20 vértices para comparação directa entre ambos os algoritmos; até 30 vértices para análise de escalabilidade da heurística
- **Seed:** 112974 para garantir reprodutibilidade dos resultados

A Figura 1 ilustra um exemplo de grafo gerado com 18 vértices e densidade de 50%, onde o clique de peso máximo encontrado está destacado a vermelho.

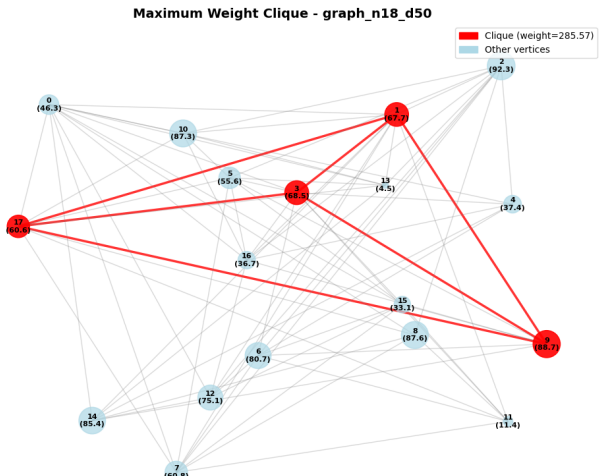


Figura 1. Exemplo de grafo gerado (18 vértices, densidade 50%) com clique de peso máximo destacado

2) Métricas Colectadas: Para cada algoritmo e instância de grafo, foram colectadas as seguintes métricas:

- 1) **Tempo de execução:** Tempo real medido usando `time.perf_counter()` em segundos
- 2) **Operações básicas:** Número de verificações de adjacência realizadas (métrica independente do hardware)

- 3) **Configurações testadas:** Número de subconjuntos de vértices examinados durante a execução
 - 4) **Precisão da heurística:** Percentagem de qualidade relativa ao ótimo: $\frac{\text{peso_guloso}}{\text{peso_timo}} \times 100\%$
 - 5) **Factor de aceleração:** Razão entre tempos de execução: $\frac{\text{tempo_exaustivo}}{\text{tempo_guloso}}$
- 3) *Ambiente Experimental:*
- **Sistema operativo:** Linux 6.17.0-6-generic
 - **Linguagem:** Python 3.14
 - **Reprodutibilidade:** Seed fixa (NMEC) para geração de grafos

B. Resultados Experimentais

Nesta secção é apresentada uma **selecção representativa** dos resultados obtidos, focando em grafos com tamanhos de 10, 15 e 20 vértices, que permitem comparação direta entre ambos os algoritmos e demonstram claramente as diferenças de desempenho. Para cada tamanho, estão incluídos exemplos das quatro densidades testadas.

1) *Análise de Performance Temporal:* A Figura 2 mostra o tempo de execução em função do número de vértices para ambos os algoritmos e diferentes densidades.

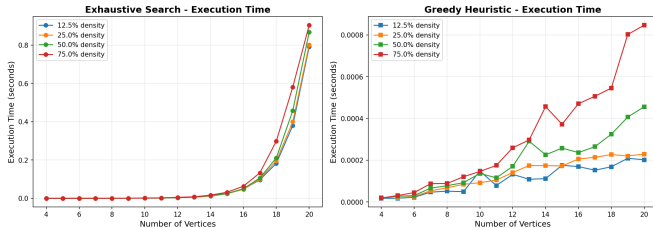


Figura 2. Tempo de execução vs. número de vértices para ambos os algoritmos

Observa-se claramente o crescimento exponencial do algoritmo exaustivo em contraste com o crescimento polinomial da heurística gulosa. Para grafos com mais de 15 vértices, o algoritmo exaustivo torna-se impraticável, enquanto a heurística mantém tempos de execução muito baixos.

2) *Contagem de Operações Básicas:* A Figura 3 apresenta o número de operações básicas (verificações de adjacência) executadas pelo algoritmo exaustivo.

Este gráfico confirma a análise teórica: o algoritmo exaustivo executa um número exponencial de operações, com crescimento acelerado à medida que o número de vértices aumenta.

3) *Configurações Testadas:* A Figura 4 ilustra o crescimento exponencial 2^n das configurações testadas pelo algoritmo exaustivo.

Observa-se que o número de configurações testadas segue exactamente a função 2^n , confirmando que o algoritmo testa todos os subconjuntos possíveis de vértices.

4) *Qualidade da Heurística:* A Figura 5 mostra a precisão da heurística gulosa em relação à solução ótima. A robustez da heurística deve ser testada em instâncias SOTA (e.g., grafos de bioinformática [1] ou map labeling [3]), não apenas em grafos aleatórios maiores.

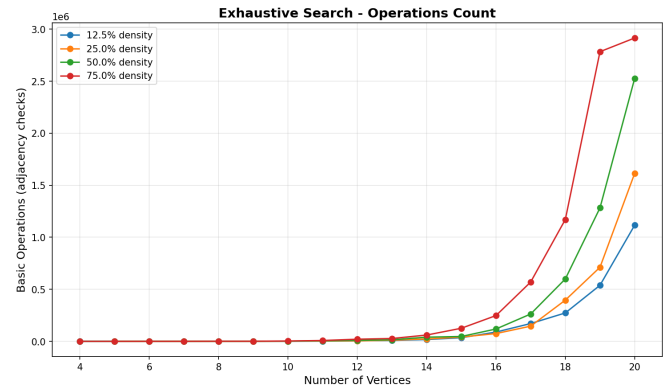


Figura 3. Número de operações básicas vs. número de vértices (algoritmo exaustivo)

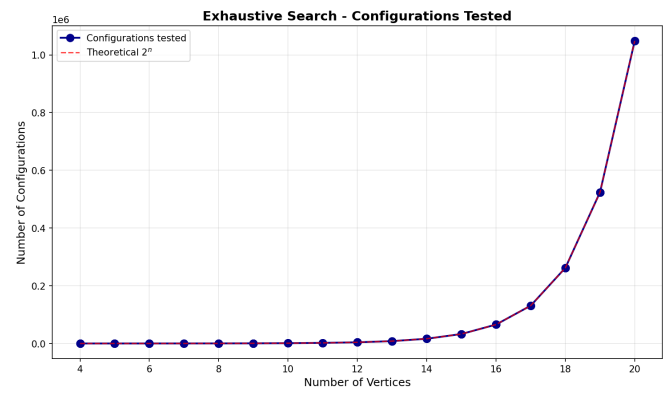


Figura 4. Número de configurações testadas vs. número de vértices (algoritmo exaustivo)

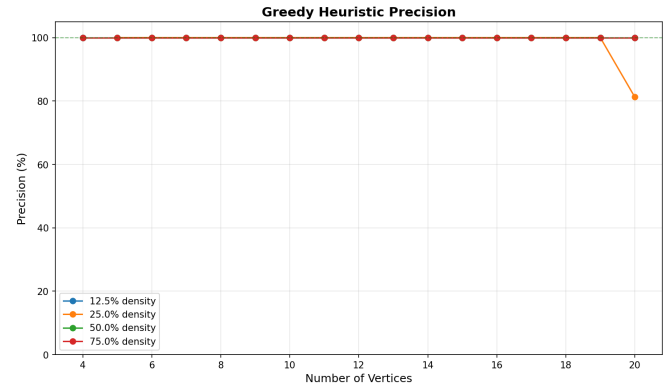


Figura 5. Precisão da heurística gulosa vs. número de vértices

A heurística mantém alta precisão (geralmente acima de 94%) em relação à solução ótima, demonstrando que a estratégia multi-início é eficaz na obtenção de soluções de qualidade.

A Figura 6 apresenta o tempo de execução da heurística gulosa para grafos com até 500 vértices. Esta figura demonstra claramente o comportamento esperado do algoritmo para instâncias de maior dimensão. Onde o tempo aumenta de forma polinomial.

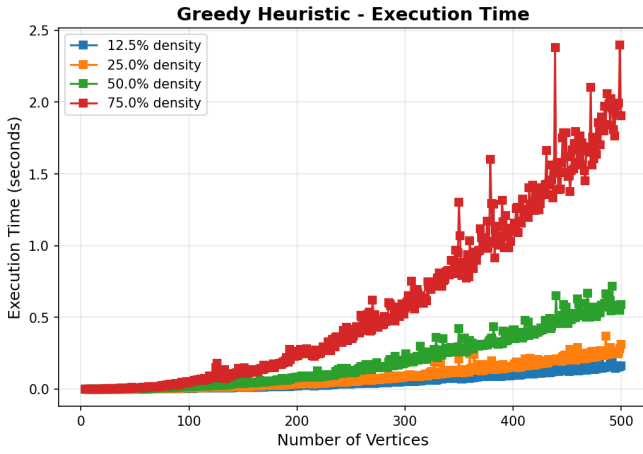


Figura 6. Tempo de execução da heurística gulosa para grafos até $n = 500$ vértices

C. Análise Detalhada dos Resultados

A Tabela IV-C apresenta uma seleção representativa dos resultados experimentais para diferentes tamanhos de grafo. Esta tabela resume os dados mais relevantes que demonstram as diferenças de desempenho entre os algoritmos. Os resultados completos de todos os benchmarks realizados (68 entradas) encontram-se no Anexo F (Tabela III).

V	E	ρ	Ex.(s)	Gu.(s)	Pr. (%)	Op.Ex.	Op.Gu.
10	5	12.5	.0008	1e-4	100	1186	168
10	11	25.0	.0007	1e-4	100	1644	215
10	22	50.0	.0008	1e-4	100	1765	338
10	33	75.0	.0014	2e-4	100	3485	524
15	13	12.5	.0246	1e-4	100	34766	422
15	26	25.0	.0250	2e-4	100	41240	576
15	52	50.0	.0260	2e-4	100	46749	1005
15	78	75.0	.0327	4e-4	100	125843	2116
20	23	12.5	.8072	2e-4	100	1116260	877
20	47	25.0	.8010	3e-4	81.2	1613817	957
20	95	50.0	.9002	4e-4	100	2526647	2205
20	142	75.0	.9021	9e-4	100	2915493	5220

Tabela I
RESUMO DOS RESULTADOS EXPERIMENTAIS (SELEÇÃO REPRESENTATIVA).

LEGENDA: V (VÉRTICES), E (ARESTAS), ρ (DENSIDADE), EX.(S) (TEMPO EXAUSTIVO), GU.(S) (TEMPO GULOSO), PR. (%) (PRECISÃO HEURÍSTICA), OP.EX. (OPERAÇÕES EXAUSTIVO), OP.GU. (OPERAÇÕES GULOSO).

Com esta tabela conseguimos verificar tudo o que foi discutido anteriormente e confirmar que a densidade do grafo não representa um *bottleneck*, tanto para o tempo de execução como para o número de operações.

D. Comparação entre Análise Formal e Experimental

1) Validação da Complexidade do Algoritmo Exaustivo:
A análise teórica prevê complexidade temporal $O(2^n \times n^2)$ e espacial $O(n)$. Os resultados experimentais confirmam este comportamento:

- **Configurações testadas:** Os dados experimentais (Figura 4) mostram que o número de configurações testadas segue exatamente 2^n , confirmando a enumeração de todos os subconjuntos. (e.g., para $n = 10$, $2^{10} = 1024$; para $n = 20$, $2^{20} = 1.048.576$).

- **Crescimento do tempo:** O tempo de execução dobra aproximadamente a cada vértice adicional, confirmando o crescimento exponencial $O(2^n)$.

- **Operações básicas:** O número de operações (Tabela IV-C, col. "Op.Ex.") cresce exponencialmente, sendo consistente com a análise teórica de $O(2^n \times n^2)$.

2) *Validação da Complexidade da Heurística Gulosa:*
A análise teórica prevê complexidade temporal $O(n^4)$ (pior caso) e espacial $O(n)$. Os resultados experimentais confirmam comportamento polinomial:

- **Tempo de execução:** Cresce de forma polinomial, muito mais lento que o crescimento exponencial do algoritmo exaustivo.

- **Operações básicas:** O número de operações (Tabela IV-C, col. "Op.Gul.") cresce polinomialmente, sendo consistente com a análise teórica.

- **Escalabilidade:** A heurística pode processar grafos com centenas de vértices em tempo razoável, enquanto o algoritmo exaustivo torna-se impraticável acima de 20 vértices.

Para quantificar o crescimento, calculou-se a média das operações da heurística para cada tamanho de grafo (considerando as diferentes densidades).

Com os valores obtidos, ajustou-se uma regressão $\log - \log$ segundo o modelo $Op = c \cdot V^p$, obtendo-se:

$$p \approx 2.42 \quad \text{e} \quad c \approx 1.69$$

O expoente ajustado p aproxima-se de 3, à medida que o número de vértices aumenta, indicando que o crescimento é cúbico, ou seja, o número de operações cresce aproximadamente como $O(n^3)$.

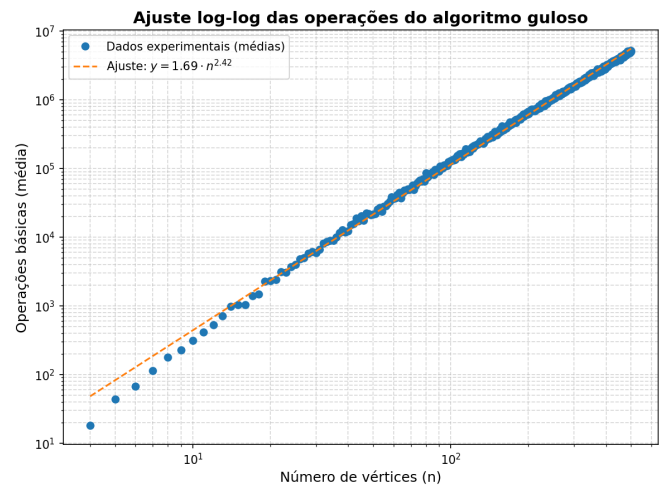


Figura 7. Ajuste $\log - \log$ das operações da heurística gulosa ($p \approx 2.42$).

A Figura 7 ilustra o ajuste $\log - \log$ com linha de regressão linear, confirmando empiricamente o comportamento cúbico do algoritmo. Assim, tanto a evidência experimental como a análise teórica sustentam a conclusão de que a heurística apresenta complexidade $O(n^3)$.

3) *Factores de Aceleração*: A Tabela II apresenta os factores de aceleração da heurística gulosa em relação ao algoritmo exaustivo.

Tabela II
FACTORES DE ACELERAÇÃO DA HEURÍSTICA GULOSA

Vértices	Factor de Aceleração	Redução de Operações
10	9.1x	84.6%
15	124.8x	98.4%
20	2,449.6x	99.9%

O factor de aceleração aumenta exponencialmente com o número de vértices, demonstrando que a vantagem da heurística cresce drasticamente para grafos maiores.

4) *Impacto da Densidade*: A densidade do grafo afecta o desempenho de ambos os algoritmos:

- **Grafos densos:** Maior número de cliques possíveis, aumentando o número de operações em ambos os algoritmos.
- **Grafos esparsos:** Menor número de cliques, reduzindo o espaço de busca.
- **Precisão da heurística:** Mantém-se elevada (geralmente acima de 94%) independentemente da densidade, com média geral superior a 99% nos benchmarks testados.

E. Síntese dos Resultados Experimentais

Os resultados experimentais validam completamente as análises teóricas de complexidade apresentadas na Secção III:

- 1) O algoritmo exaustivo apresenta crescimento exponencial confirmado em tempo, operações e configurações testadas (2^n).
- 2) A heurística gulosa apresenta crescimento polinomial confirmado, mantendo tempos de execução muito baixos mesmo para grafos maiores.
- 3) A qualidade das soluções da heurística é excelente nos grafos aleatórios testados, com precisão média superior a 99%.
- 4) O factor de aceleração da heurística aumenta exponencialmente com o tamanho do grafo.
- 5) A densidade do grafo tem impacto moderado no desempenho, mas não afecta significativamente a qualidade das soluções da heurística.

A concordância entre análise teórica e resultados experimentais demonstra a correcção das análises formais e a eficácia da implementação dos algoritmos baseline.

V. CONCLUSÃO

Este trabalho apresentou uma análise formal e experimental completa de dois algoritmos baseline para resolver o problema Maximum Weight Clique. As principais conclusões são sintetizadas abaixo.

A. Principais Descobertas

- 1) **Validação da complexidade teórica:** Os resultados experimentais confirmam completamente as análises teóricas de complexidade. O algoritmo exaustivo (Algoritmo 1) apresenta crescimento exponencial $O(2^n \times n^2)$, enquanto a heurística gulosa (Algoritmo 2) mantém crescimento polinomial (pior caso $O(n^4)$).
- 2) **Limitações práticas do baseline exaustivo:** O algoritmo exaustivo torna-se impraticável para grafos com mais de aproximadamente 20 vértices. Esta é uma limitação da força bruta, não da resolução exata SOTA.
- 3) **Eficiência da heurística baseline:** A heurística gulosa multi-início oferece excelente qualidade de solução (média >99%) nos benchmarks aleatórios testados, com complexidade polinomial.
- 4) **Escalabilidade:** A heurística gulosa demonstra excelente escalabilidade, com factores de aceleração superiores a 2,000x para grafos de 20 vértices em relação ao algoritmo exaustivo.
- 5) **Impacto da densidade:** A densidade do grafo tem impacto moderado no desempenho de ambos os algoritmos, mas não afecta significativamente a qualidade das soluções da heurística.

B. Comparação entre Análise Formal e Experimental

A comparação entre as análises formais apresentadas na Secção III e os resultados experimentais da Secção IV revela uma concordância notável:

- **Algoritmo exaustivo:** A análise teórica prevê 2^n configurações testadas, confirmado exactamente pelos resultados experimentais (Figura 4). O crescimento exponencial em tempo e operações também está totalmente de acordo com a previsão teórica.
- **Heurística gulosa:** A análise teórica prevê crescimento polinomial, confirmado pelos resultados experimentais que mostram crescimento muito mais lento que exponencial.
- **Espaço:** Ambos os algoritmos utilizam espaço $O(n)$ conforme previsto.

Esta concordância valida a correcção das análises formais e a eficácia das implementações dos algoritmos baseline.

C. Recomendações Práticas

Com base na análise experimental, as seguintes recomendações são propostas:

- **Para grafos pequenos ($n \leq 20$):** Utilizar o algoritmo exaustivo (Algoritmo 1) para garantir a solução ótima, se o tempo de execução for aceitável.
- **Para grafos médios e grandes ($n > 20$):** A heurística gulosa (Algoritmo 2) é a única opção viável implementada, oferecendo excelente qualidade de solução (94-100%) com tempo de execução muito baixo.
- **Para Investigação Futura:** Implementar algoritmos SOTA (e.g., MWCReduc [3] ou MaxCliqueWeight [1]) para obter soluções ótimas para $n > 20$.

D. Trabalho Futuro

Com base no estado-da-arte (SOTA) da investigação recente, as extensões futuras devem focar-se em superar os baselines aqui implementados:

- 1) **Implementação de Heurísticas SOTA:** Substituir a abordagem de “multi-início” por meta-heurísticas mais robustas para escapar a ótimos locais. As implementações prioritárias incluem:
 - **GRASP:** Modificar o Algoritmo 2 para usar uma *Restricted Candidate List* (RCL) com seleção aleatória, em vez de uma seleção puramente gulosa [4].
 - **Iterated Local Search (ILS):** Adicionar uma fase de “busca local” pós-construção (e.g., *swaps* de vértices) e um mecanismo de “perturbação” para saltar para outras bacias de atração [4].
 - **Simulated Annealing (SA):** Implementar SA, que permite movimentos piores com probabilidade decrescente, comparando-o com variantes SOTA como *Adaptive Population-based SA* [5].
- 2) **Implementação de Algoritmos Exatos SOTA:** Substituir o Algoritmo 1 (força bruta) por uma abordagem SOTA para resolver instâncias maiores:
 - **Branch-and-Bound (B&B):** Implementar um solver B&B com upper bounds baseados em coloração ponderada, seguindo a abordagem de [1].
 - **Algoritmos Híbridos (Redução):** Implementar as regras de redução de dados (e.g., remoção de vértices dominados) propostas por [3] como um passo de pré-processamento. Medir a redução $n \rightarrow n'$ e o speedup resultante no Algoritmo 1.
- 3) **Validação em Benchmarks SOTA:** Validar a alta precisão (99%) do Algoritmo 2 contra os benchmarks académicos standard (e.g., grafos de bioinformática ou map labeling [1], [3]), em vez de apenas grafos aleatórios.
- 4) **Exploração de ML para Redução:** Investigar a abordagem SOTA de usar Machine Learning para prever a probabilidade de um vértice pertencer à MWC, usando essa predição para uma redução de grafo [7].

REFERÊNCIAS

- [1] J. Konc and D. Janei, “Efficient algorithms for the maximum weight clique problem with applications to protein binding site analysis,” in *Proceedings of the 13th MATCOS Conference (MATCOS 2025)*, 2025. (previsto) [6].
- [2] A. Legendre, E. Angel, and F. Tahí, “Rcpred: Rna complex prediction as a constrained maximum weight clique problem,” *BMC Bioinformatics*, vol. 20-S3, pp. 53–62, 2019. (Citado como ferramenta ativa em relatórios de 20222023, ver [8]).
- [3] R. Erhardt, K. Hanauer, N. M. Kriege, C. Schulz, and D. Strash, “Improved exact and heuristic algorithms for maximum weight clique,” *arXiv preprint arXiv:2302.00458*, February 2023. [1, 2, 3, 4, 5].
- [4] J.-K. Hao and X. Lai, “Metaheuristic algorithms,” in *Discrete Diversity and Dispersion Maximization - A Tutorial on Metaheuristic Optimization* (R. Martí and A. Martínez-Gavara, eds.), pp. 271–298, Springer, 2023. [10].
- [5] Y. Sun, S. Esler, D. Thiruvady, A. T. Ernst, X. Li, and K. Morgan, “Adaptive population-based simulated annealing for resource constrained job scheduling with uncertainty,” *International Journal of Production Research*, vol. 62, no. 17, pp. 6227–6250, 2024. [7].

- [6] M. R. Garey and D. S. Johnson, *Computers and Intractability: A Guide to the Theory of NP-Completeness*. W. H. Freeman, 1979.
- [7] Y. Sun, X. Li, and A. Ernst, “Using statistical measures and machine learning for graph reduction to solve maximum weight clique problems,” *IEEE Transactions on Pattern Analysis and Machine Intelligence*, vol. 43, pp. 1746–1760, May 2021. [7].
- [8] ApogeeBIO Research Team, “Hosting teams report 20212023.” ApogeeBIO, December 2023. [8, 9].

APÊNDICE
ANEXO A: GUIA DE UTILIZAÇÃO DO CÓDIGO

Este anexo apresenta um guia completo para utilização do código implementado para resolver o problema Maximum Weight Clique.

A. Instalação e Configuração

O projeto utiliza uv para gestão de dependências e do ambiente Python. O uv é um gestor de pacotes Python moderno e rápido que simplifica a instalação e gestão de dependências.

1) Pré-requisitos:

- Python ≥ 3.13
- uv instalado (disponível em <https://github.com/astral-sh/uv>) ou numa *virtual environment* com o uv instalado

2) Instalação das Dependências:

Para instalar todas as dependências do projeto, execute:

```
uv sync # OU  
python3 -m venv .venv && source .venv/bin/activate && pip install uv && uv sync
```

Este comando irá:

- Criar um ambiente virtual Python isolado
- Instalar todas as dependências especificadas em `pyproject.toml`
- Gerar o ficheiro `uv.lock` com versões exactas das dependências

As principais dependências incluem:

- **NetworkX**: Manipulação de estruturas de dados de grafos
- **Matplotlib**: Visualização de grafos e resultados
- **NumPy**: Operações numéricas para análise de dados
- **TypeR**: Interface de linha de comandos

3) Activação do Ambiente Virtual:

Após a instalação, o ambiente virtual pode ser activado com:

```
source .venv/bin/activate # Linux/Mac  
# ou  
.venv\Scripts\activate # Windows
```

Alternativamente, pode executar comandos directamente com `uv run`:

```
uv run python main.py <comando>
```

B. Estrutura do Projeto

O projeto está organizado da seguinte forma:

```
projeto1/  
  src/  
    algorithms.py      # Implementacao dos algoritmos  
    benchmark.py       # Infraestrutura de benchmarking  
    graph_generator.py # Geracao de grafos aleatorios  
    visualizer.py     # Visualizacao de resultados  
  main.py            # Interface de linha de comandos  
  pyproject.toml     # Configuracao do projeto e dependencias  
  uv.lock            # Lock file das dependencias  
  experiments/  
    graphs/           # Grafos gerados (.graphml)  
    results/          # Resultados dos benchmarks (.csv, .json)  
    plots/            # Graficos de analise (.png)  
  docs/  
    report/          # Relatorio em LaTeX
```

1) Descrição dos Módulos:

- **src/algorithms.py**: Contém a implementação do algoritmo exaustivo e da heurística gulosa multi-início, incluindo a classe MaxWeightCliqueSolver.
- **src/benchmark.py**: Fornece a classe BenchmarkRunner para executar benchmarks em séries de grafos e recolher métricas de desempenho.
- **src/graph_generator.py**: Implementa a classe GraphGenerator para gerar grafos aleatórios com vértices representados como pontos 2D e densidades de arestas configuráveis.
- **src/visualizer.py**: Contém classes para visualização de grafos (GraphVisualizer) e resultados experimentais (ResultsVisualizer).
- **main.py**: Interface de linha de comandos que expõe todas as funcionalidades através de comandos `typewriter`.

C. Comandos Disponíveis

O projecto expõe quatro comandos principais através da interface de linha de comandos:

1) Geração de Grafos:

Gera grafos aleatórios para experimentação:

```
uv run python main.py generate [opções]
```

Opções:

- `--seed <número>`: Seed aleatória para reproducibilidade (padrão: 112974)
- `--min-vertices <n>`: Número mínimo de vértices (padrão: 4)
- `--max-vertices <n>`: Número máximo de vértices (padrão: 12)
- `--densities <lista>`: Percentagens de densidade de arestas (padrão: 12.5 25.0 50.0 75.0)
- `--output-dir <directoria>`: Directória de saída (padrão: experiments/graphs)

Exemplo:

```
uv run python main.py generate \
    --seed 112974 \
    --min-vertices 4 \
    --max-vertices 20 \
    --densities 12.5 25.0 50.0 75.0
```

Este comando gera grafos com tamanhos de 4 a 20 vértices, cada um com quatro densidades diferentes, totalizando 68 grafos.

2) Resolver um Grafo:

Resolve o problema Maximum Weight Clique para um grafo específico:

```
uv run python main.py solve <caminho_grafo> [opções]
```

Opções:

- `--visualize`: Gera visualização do grafo com o clique destacado
- `--no-show`: Guarda a visualização sem a mostrar
- `--mode <modo>`: Modo de execução: `both`, `exhaustive` ou `heuristic` (padrão: `both`)

Exemplo:

```
uv run python main.py solve \
    experiments/graphs/graph_n10_d50.graphml \
    --visualize \
    --mode both
```

3) Executar Benchmarks:

Executa benchmarks em séries de grafos e recolhe métricas de desempenho:

```
uv run python main.py benchmark [opções]
```

Opções:

- `--graphs-dir <directoria>`: Directória com grafos (padrão: experiments/graphs)
- `--output-dir <directoria>`: Directória de saída (padrão: experiments/results)
- `--exhaustive <intervalo>`: Intervalo de vértices para algoritmo exaustivo (ex: `4..15` ou `all`)
- `--heuristic <intervalo>`: Intervalo de vértices para heurística gulosa (ex: `4..100` ou `all`)
- `--plot`: Gera gráficos após o benchmarking
- `--verbose`: Mostra progresso detalhado (padrão: `True`)

Exemplo com intervalos separados:

```
uv run python main.py benchmark \
    --exhaustive 4..20 \
    --heuristic 4..500 \
    --plot
```

Este comando executa o algoritmo exaustivo em grafos com 4 a 20 vértices e a heurística gulosa em grafos com 4 a 500 vértices, gerando gráficos no final.

Exemplo simples:

```
uv run python main.py benchmark --plot
```

Executa ambos os algoritmos em todos os grafos disponíveis.

4) Visualizar Resultados: Gera gráficos a partir de resultados de benchmarks existentes:

```
uv run python main.py visualize [caminho_resultados] [opções]
```

Opções:

- <caminho_resultados>: Caminho para ficheiro JSON de resultados (padrão: experiments/results/benchmark_results.json)
- -output-dir <directoria>: Directória de saída para gráficos (padrão: experiments/plots)

Exemplo:

```
uv run python main.py visualize \
    experiments/results/benchmark_results.json \
    --output-dir experiments/plots
```

Gera os seguintes gráficos:

- execution_time.png: Tempo de execução vs. número de vértices
- operations_count.png: Número de operações vs. número de vértices
- configurations_tested.png: Configurações testadas vs. número de vértices
- heuristic_precision.png: Precisão da heurística vs. número de vértices

D. Fluxo de Trabalho Recomendado

Um fluxo de trabalho típico para experimentação:

1) Gerar grafos:

```
uv run python main.py generate \
    --seed 112974 \
    --min-vertices 4 \
    --max-vertices 20
```

2) Executar benchmarks:

```
uv run python main.py benchmark \
    --exhaustive 4..20 \
    --heuristic 4..500 \
    --plot
```

3) Visualizar um grafo específico:

```
uv run python main.py solve \
    experiments/graphs/graph_n10_d50.graphml \
    --visualize
```

4) Gerar gráficos adicionais:

```
uv run python main.py visualize
```

E. Formato dos Dados

1) Grafos (GraphML): Os grafos são guardados no formato GraphML, que preserva:

- Coordenadas 2D dos vértices (x, y)
- Pesos dos vértices (weight)
- Estrutura de arestas

2) *Resultados de Benchmarks:* Os resultados são guardados em dois formatos:

- **CSV:** Formato tabular para análise em folhas de cálculo
- **JSON:** Formato estruturado para processamento programático

Cada resultado contém:

- Propriedades do grafo (número de vértices, arestas, densidade)
- Métricas do algoritmo exaustivo (clique, peso, tempo, operações, configurações)
- Métricas da heurística gulosa (clique, peso, tempo, operações, configurações)
- Métricas de comparação (precisão, factor de aceleração)

F. Notas de Implementação

- O algoritmo exaustivo testa todos os 2^n subconjuntos possíveis de vértices, garantindo optimalidade mas com complexidade exponencial.
- A heurística gulosa utiliza uma estratégia multi-início, iniciando a construção de um clique a partir de cada vértice e seleccionando iterativamente o vértice compatível de maior peso.
- As métricas de operações básicas contam verificações de adjacência, sendo independentes do hardware e úteis para análise de complexidade.
- O gerador de grafos garante uma distância mínima entre vértices para evitar sobreposição espacial e utiliza seeds para reproduzibilidade.

ANEXO B: RESULTADOS COMPLETOS DOS BENCHMARKS

Este anexo apresenta todos os resultados experimentais obtidos nos benchmarks realizados. A Tabela IV-C na Secção IV apresenta uma selecção representativa destes dados. A tabela completa abaixo contém todos os 68 resultados experimentais.

Tabela III

RESULTADOS COMPLETOS DOS BENCHMARKS. LEGENDA: V (VÉRTICES), E (ARESTAS), ρ (DENSIDADE), EX.(S) (TEMPO EXAUSTIVO), GUL.(S) (TEMPO GULOSO), PREC. (%) (PRECISÃO HEURÍSTICA), OP.EX. (OPERAÇÕES EXAUSTIVO), OP.GUL. (OPERAÇÕES GULOSO).

V	E	ρ	Ex.(s)	Gul.(s)	Prec. (%)	Op.Ex.	Op.Gul.
4	0	12.5	0.0000	0.0000	100.0	11	12
4	1	12.5	0.0000	0.0000	100.0	11	16
4	3	50.0	0.0000	0.0000	100.0	11	20
4	4	75.0	0.0000	0.0000	100.0	17	24
5	1	12.5	0.0000	0.0000	100.0	26	26
5	2	25.0	0.0000	0.0000	100.0	34	32
5	5	50.0	0.0000	0.0000	100.0	45	54
5	7	75.0	0.0000	0.0000	100.0	47	62
6	1	12.5	0.0001	0.0000	100.0	64	38
6	3	25.0	0.0001	0.0000	100.0	76	49
6	7	50.0	0.0001	0.0000	100.0	84	65
6	11	75.0	0.0001	0.0000	100.0	118	118
7	2	12.5	0.0001	0.0000	100.0	124	59
7	5	25.0	0.0001	0.0000	100.0	133	79
7	10	50.0	0.0001	0.0001	100.0	177	117
7	15	75.0	0.0001	0.0001	100.0	285	196
8	3	12.5	0.0002	0.0000	100.0	342	84
8	7	25.0	0.0002	0.0000	100.0	262	109
8	14	50.0	0.0002	0.0001	100.0	492	160
8	21	75.0	0.0003	0.0001	100.0	1,096	358
9	4	12.5	0.0004	0.0000	100.0	595	113
9	9	25.0	0.0003	0.0001	100.0	576	165
9	18	50.0	0.0004	0.0001	100.0	1,083	231
9	27	75.0	0.0006	0.0001	100.0	1,054	390
10	5	12.5	0.0008	0.0001	100.0	1,186	168
10	11	25.0	0.0007	0.0001	100.0	1,644	215
10	22	50.0	0.0008	0.0001	100.0	1,765	338
10	33	75.0	0.0014	0.0002	100.0	3,485	524
11	6	12.5	0.0018	0.0001	100.0	2,126	177
11	13	25.0	0.0015	0.0001	100.0	3,484	227
11	27	50.0	0.0016	0.0001	100.0	4,941	366
11	41	75.0	0.0021	0.0002	100.0	8,148	878
12	8	12.5	0.0037	0.0002	100.0	5,340	253
12	16	25.0	0.0036	0.0001	100.0	4,621	294
12	33	50.0	0.0031	0.0001	100.0	9,656	451
12	49	75.0	0.0045	0.0002	100.0	20,610	1,120
13	9	12.5	0.0061	0.0001	100.0	8,631	285
13	19	25.0	0.0058	0.0001	100.0	11,110	366
13	39	50.0	0.0075	0.0002	100.0	15,049	708
13	58	75.0	0.0082	0.0003	100.0	27,293	1,466
14	11	12.5	0.0119	0.0001	100.0	17,516	383
14	22	25.0	0.0120	0.0001	100.0	22,958	510
14	45	50.0	0.0146	0.0003	100.0	40,071	854
14	68	75.0	0.0168	0.0004	100.0	60,495	2,154
15	13	12.5	0.0246	0.0001	100.0	34,766	422
15	26	25.0	0.0250	0.0002	100.0	41,240	576
15	52	50.0	0.0260	0.0002	100.0	46,749	1,005
15	78	75.0	0.0327	0.0004	100.0	125,843	2,116
16	15	12.5	0.0486	0.0002	100.0	89,287	453
16	30	25.0	0.0481	0.0002	100.0	74,632	619
16	60	50.0	0.0523	0.0002	100.0	118,621	1,096
16	90	75.0	0.0651	0.0004	100.0	247,730	1,990
17	17	12.5	0.0969	0.0002	100.0	171,024	535
17	34	25.0	0.0956	0.0002	100.0	145,922	720
17	68	50.0	0.1036	0.0003	100.0	262,699	1,210
17	102	75.0	0.1340	0.0005	100.0	569,794	3,153
18	19	12.5	0.1960	0.0002	100.0	272,968	654
18	38	25.0	0.2003	0.0002	100.0	396,173	917
18	76	50.0	0.2156	0.0003	100.0	599,625	1,382
18	114	75.0	0.2690	0.0005	100.0	1,170,908	2,960
19	21	12.5	0.3751	0.0002	100.0	538,765	733
19	42	25.0	0.4082	0.0002	100.0	712,021	908
19	85	50.0	0.4501	0.0005	100.0	1,282,576	2,142
19	128	75.0	0.5639	0.0010	100.0	2,783,894	5,261
20	23	12.5	0.8072	0.0002	100.0	1,116,260	877
20	47	25.0	0.8010	0.0003	81.2	1,613,817	957
20	95	50.0	0.9002	0.0004	100.0	2,526,647	2,205
20	142	75.0	0.9021	0.0009	100.0	2,915,493	5,220